

Title	エージェント指向ペトリネットの解析について
Author(s)	岡橋, 孝治
Citation	
Issue Date	2003-03
Type	Thesis or Dissertation
Text version	author
URL	http://hdl.handle.net/10119/1669
Rights	
Description	Supervisor:平石 邦彦, 情報科学研究科, 修士

修 士 論 文

エージェント指向ペトリネットの解析について

北陸先端科学技術大学院大学
情報科学研究科情報システム学専攻

岡橋 孝治

2003年3月

修士論文

エージェント指向ペトリネットの解析について

指導教官 平石邦彦 助教授

審査委員主査 平石邦彦 助教授

審査委員 金子峰雄 教授

審査委員 浅野哲夫 教授

北陸先端科学技術大学院大学
情報科学研究科情報システム学専攻

110026 岡橋 孝治

提出年月: 2003 年 2 月

目次

第1章	はじめに	1
第2章	PN^2 について	3
2.1	エージェント指向ペトリネット PN^2	3
2.2	PN^2 が表現できるエージェントシステムの性質	4
第3章	エージェントネットの縮約	6
3.1	1つのエージェントからなるシステムの縮約法	6
3.2	複数のエージェントからなるシステムの縮約法	7
3.2.1	エージェントネット縮約の手順	8
3.2.2	エージェントネットの縮約の例	11
第4章	PN^2 から1階層のペトリネットへの変換について	20
4.1	PN^2 の有界性とその判定方法	22
4.1.1	有界性の判定方法	22
4.1.2	有界性判定の例	23
4.2	PN^2 の変換方法について	25
4.3	方法1	27
4.3.1	変換の例	31
4.3.2	方法1で PN に変換できる PN^2 のクラス	33
4.4	方法2	37
4.4.1	変換の例	39
4.4.2	方法2で PN に変換できる PN^2 のクラス	41
4.5	方法1と方法2の比較	41
第5章	おわりに	42

第1章 はじめに

マルチエージェントシステムとは、ある環境の下で複数のエージェントが自律的かつ協調的な行動によって分散的に問題を解決するシステムである [1]。このシステムは、ロボット、自動搬送車、加工・組立て機械などをエージェントとしたフレキシブル生産システムや、プロトコルを介してデータを交換する通信システムなど、多くの分野での応用が期待できる。

このようなシステムを、ペトリネットを用いてモデル化することを試みると、カラーペトリネット [2] のような高水準ペトリネットを用いれば、マルチエージェントシステムの動作を表現することは可能である。しかし、カラーペトリネットではデータ構造を持つトークンは扱えるが、データ構造とそれを操作するための方法をカプセル化したオブジェクトの概念は取り入れられていない。よって、カラーペトリネットでは各エージェントを独立したものとして記述することが難しく、あるエージェントの記述を変更しようとする、それと同時に環境も変化するので他のエージェントの記述にも影響を与え、記述の変更すべき範囲が広がるので、システムの変更を容易に行うことができない。

このようなシステムのモデル化への問題点を解決するために、ペトリネットの拡張モデルとしてオブジェクト指向ペトリネットやエージェント指向ペトリネットが提案されている [3, 4, 5, 6, 7, 8]。これらはトークンを単なるデータとしてではなく、データ構造とそれを操作するための方法をカプセル化したオブジェクトとして考えている。このトークンをエージェントに対応させることにより、環境ネットの構造と各エージェントの動作をそれぞれ独立して記述できるので、エージェントの記述の変更が環境や他のエージェントに影響を与えるという問題を解消できる。また、エージェント指向ペトリネットでは、実際にエージェントシステムで行われているエージェントの動的な通信リンクの変更や、エージェントの複製や消滅も容易に表現できる。

このような特徴をもつエージェント指向ペトリネットには初等的なモデルとして PN^2 (*Petri Nets in a Petri Net*) [9, 10] がある。 PN^2 は、エージェントの動作をモデル化した下位階層のエージェントネットと、エージェントの動作可能な環境をモデル化した上位階層に当たる環境ネットの2階層のペトリネットで構成されている。 PN^2 では、環境ネットのトークン自体がペトリネットで記述されており、そのトークンがエージェントネットである。 PN^2 でのトランジションの発火は、環境ネットとエージェントネットに共通するトランジションが同期をとって行われる。 PN^2 では、このような環境とエージェントの動作の相互作用を表すトランジションの発火を繰り返すことによってマルチエージェントシステムの動作を実現している。

エージェント指向ペトリネットの既存研究の多くは，マルチエージェントシステムをいかにモデル化するかという対象の記述に関するものであり，モデルの解析の面についてはほとんど研究が行われていなかった．そこで，本研究では PN^2 の解析の面に焦点を置き， PN^2 の効率的な解析手法について述べていく．

まず最初に， PN^2 の環境ネットは変えずに，与えられているエージェントネットの動作の記述を縮約しても，そのエージェントに与えられている動作と同じ動作を行えるようなエージェントネットの縮約構成法について述べる．なお本研究では，有限オートマトンで表現できるようなエージェントネットを対象とする．エージェントネットの縮約によりエージェントネットの状態数 \times 遷移の数で決定される接続行列のサイズを小さくできるので，接続行列を用いた既存の PN^2 の解析手法をより効率的に適用することができる．

有限オートマトンで表現できるようなエージェントネットについては本論文で述べる縮約法によってまず縮約を行っておき，次にそのようなエージェントネットで構成される PN^2 に対して， PN^2 の動作を保存する 1 階層のペトリネット PN への変換を行う． PN^2 よりも PN の方が解析の面においては進んでいるので， PN に対する既存の解析手法を用いて PN^2 の性質を解析することが可能になる．

本論文の構成について説明する．2 章ではまず PN^2 の動作を例を用いて説明し，つぎに PN^2 で表現できるエージェントシステムの性質について述べる．3 章では PN^2 上のエージェントネットの動作の記述を縮約する方法について例を用いながら説明する．そして 4 章では，与えられた PN^2 から 1 階層のペトリネットへの変換方法について述べる．5 章では，まとめと今後の課題について述べる．

第2章 PN^2 について

2.1 エージェント指向ペトリネット PN^2

PN^2 は、エージェントの動作をモデル化した複数のエージェントネット (下位ネット) と、そのエージェントの動作可能な環境をモデル化した1つの環境ネット (上位ネット) の2階層のペトリネットで構成されており、環境ネットのトークンがエージェントネットに相当する。図 2.1 の PN^2 の例では、 μ_1 と μ_2 がエージェントネットに対応している。

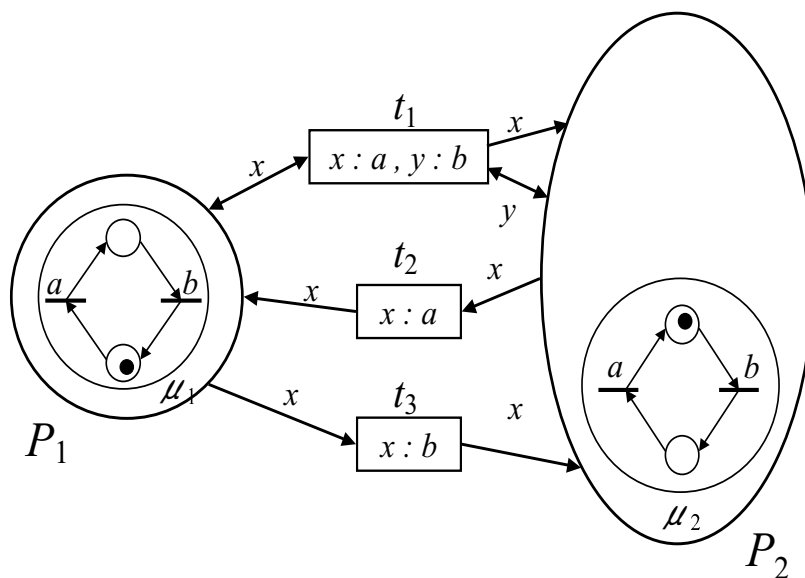


図 2.1: PN^2 の例

PN^2 では環境ネットと、エージェントネットのトランジションが同期して発火する。環境ネットのトランジションは1つ以上のトランジション成分で構成されている。例えば、図 2.1 の t_1 でのトランジション成分は x と y の2つである。トランジション内に書かれた $x : a, y : b$ は t_1 と同期して発火すべきエージェントネットのトランジションを表す。環

環境ネットのトランジションが発火可能となるためには，同期して発火すべきエージェントネットのトランジション成分がすべて発火可能である必要がある．例えば図 2.1 の PN^2 のマ - キングでは，トランジション t_1 について， t_1 のトランジション成分 x に対する μ_1 の a, y に対する μ_2 の b が共に発火可能であるので， t_1 は発火可能である． t_1 が発火すると，それと同時に μ_1 がトランジション a を発火し，また μ_2 がトランジション b を発火してそれぞれのエージェントネットが移動し，図 2.1 から図 2.2 のようにマーキングが変化する．ここで， t_1 のトランジション成分 x について，入力数が 1 に対して出力数は 2 であるので，エージェントの数が 1 つ増えている．

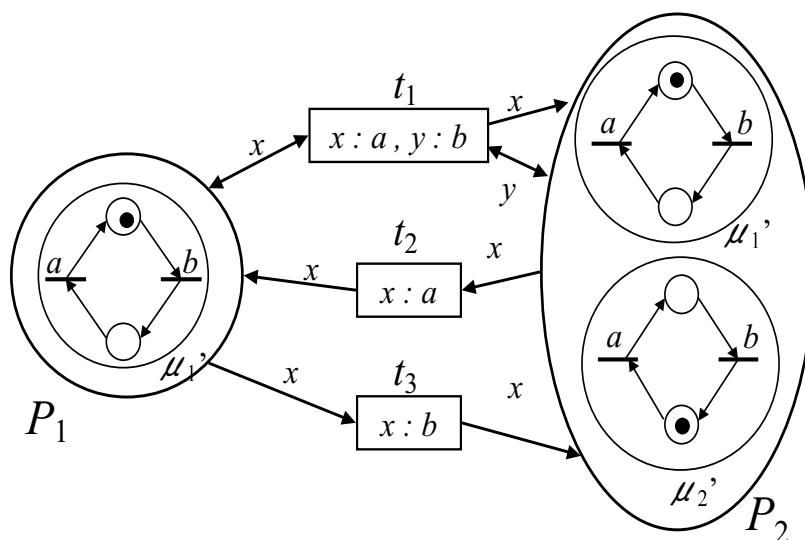


図 2.2: 図 2.1 の t_1 の発火後のマーキング

2.2 PN^2 が表現できるエージェントシステムの性質

PN^2 では，マルチエージェントシステムのもつ以下の性質を表現できる．

- 静的 / 動的な環境

各エージェントが可能な動作は，環境 (物理的制約や他のエージェントの存在) により制限される．また，エージェントは環境に作用するので，エージェントの動作によって環境も部分的に変化を繰り返していく． PN^2 での環境とは，環境ネットの構

造と環境ネット上のエージェントネットの配置およびエージェントネットの動作の可能性(エージェントに与えられている動作命令)により表現されている。

- エージェントの移動
環境ネットのプレースを，エージェントが存在する物理的な場所に対応させることにより表現できる。
- エージェントの複製と消滅
入力数よりも出力数の方が多いトランジション成分で構成される環境ネットのトランジションの生起により，エージェントの複製を表現できる。また，入力数よりも出力数の方が少ないトランジション成分で構成される環境ネットのトランジションの生起により，エージェントの消滅を表現できる。
- エージェント間の動的な通信リンクの変更
環境ネットのトランジションに対し，それと同期して発火する複数のエージェントネットのトランジションが動的に決定される。これにより，エージェント間の通信リンクの動的な変更が表現できる。

第3章 エージェントネットの縮約

PN^2 では、環境がエージェントに動作可能な範囲を与え、各エージェントはその環境のもとで、与えられた動作を行っていく。このときに、環境がエージェントに与える動作の制約により、環境ネットは変えずにエージェントネットの動作の記述を縮約しても、そのエージェントに設定していた動作と同じ動作を実現できる場合がある [10]。エージェントネットの動作の記述を縮約できれば、そのエージェントネットの状態数 \times 遷移の数で決定される接続行列のサイズを小さくできる。この接続行列は、

- 状態方程式による到達可能性の判定
- システムの不変量を表すインバリアント解析

などに用いられる [11]。接続行列のサイズを縮小することにより、このような性質の解析をより効率的に行うことができる。なお本研究では、エージェントネットが有限オートマトン (トークンを1つもつ状態機械) で表現できるようなエージェントネットの縮約構成法について述べる。

3.1 1つのエージェントからなるシステムの縮約法

本研究では、エージェントネットを縮約する際に、文献 [12] の手法を基に縮約を行っている。これは、2つのオートマトン G と S があり、 G と S の協調動作を表す $G \parallel S$ (G と S に共通する入力記号が同期をとって遷移するように振る舞うオートマトン) によって、 G の状態遷移を S が制御するという考えにもとづく S の構成法に関する研究である。[12] の縮約法では、 G および S が与えられたとき、

$$L(G \parallel S) = L(G \parallel S') \text{ であつ、} |S| \geq |S'|$$

であるような S' を求める。ここで $|S|$ はオートマトン S の状態数を表す。この縮約法は、エージェントネットが1つかないエージェントシステムの場合に適用できる。

3.2 複数のエージェントからなるシステムの縮約法

PN^2 の協調動作としては、エージェントネットが「環境ネット+他のエージェントネット」の動作を制御していると考え、[12]での S をエージェントネット、 G を「環境ネット+他のエージェントネット」として見る．ここで、[12]の手法と違うところは、 PN^2 では複数のエージェントを取り扱うので、 G には環境ネット以外に他のエージェントネットの動作も含まれるということである．そして、1つの環境ネット G に対して、複数のエージェントネット S_1, \dots, S_n が存在し、

$$L(G \parallel S_1 \parallel \dots \parallel S_n) = L(G \parallel S'_1 \parallel \dots \parallel S'_n) \text{ であつ、 } |S_i| \geq |S'_i| \text{ (} i = 1, \dots, n \text{)}$$

であるような $S'_i (i = 1, \dots, n)$ を求めることが目標となる．

縮約の1つの方法として、各エージェントネット S_i に対して、[12]における G を、

$$G'_i = G \parallel S_1 \parallel \dots \parallel S_{i-1} \parallel S_{i+1} \parallel \dots \parallel S_n$$

に対応させ、 G'_i と S_i から [12]の手法により $S'_i (i = 1, \dots, n)$ を求めることが考えられる．しかし、この方法では G'_i の状態遷移図の状態数がエージェントの数 n の指数関数として増加してしまう．

この問題を避けるために本研究では以下のようにして $L(G'_i)$ の上界を計算する．

(i) $G \parallel S_i (i = 1, \dots, n)$ の状態遷移図を作成する．

ここで、環境ネット G のトランジションは、トランジションに属するすべてのトランジション成分が発火可能でないとトランジションを発火することはできない．しかし、 $G \parallel S_i$ の状態遷移図では、 G の環境ネットのトランジションの中のどれか1つのトランジション成分と S_i のトランジションが一致してさえいれば、そのトランジション成分を含む環境ネットのトランジションは発火できるものとして、 G と S_i の状態遷移を同期させている．つまり、 S_i は他のエージェントとの協調動作を無視して状態遷移図を作成しているので、

$$L(G'_i \parallel S_i) \subseteq L(G \parallel S_i) \quad (3.1)$$

となり、 $L(G \parallel S_i)$ は実際の動作 $L(G'_i \parallel S_i)$ の上界になる．

(ii) $G \parallel S_i (i = 1, \dots, n)$ の状態遷移図より、 S_i に与えられている動作の中で複数のエージェントネットと関与している動作を求める．

しかし、(3.1)式が”=”でないため、実際には不可能である協調動作を可能であると判定される場合がある．しかし、可能なものが不可能と判定されることはない．ここで、判定後の動作を $L'(G \parallel S_i)$ とする．

(iii) (ii)の結果から $L(G'_i)$ の上界、

$$L(G'_i) = (L'(G \parallel S_1) \cup \dots \cup L'(G \parallel S_{i-1}) \cup L'(G \parallel S_{i+1}) \cup \dots \cup L'(G \parallel S_n)) \quad (3.2)$$

を求める．

(i) ~ (iii) の手法の利点としては， $G \parallel S_i$ のサイズは $O(|G| \cdot |S_i|)$ で， $G'_i \parallel S_i$ のサイズは $O(|G| \cdot |S_1| \cdot \dots \cdot |S_{i-1}| \cdot |S_{i+1}| \cdot \dots \cdot |S_n|)$ であるので， $G \parallel S_i$ のサイズは n の大きさに無関係であるということである．

一方，欠点としては，(3.1) 式が ” = ” でないため，エージェントネットを最小化できる保証がないことである．しかし，[12] の手法自体が NP-困難のため，実際には最小化をあきらめざるを得ないので，問題にはならないと考えられる．

そして，

$$L(G'_i) \subseteq L(G_i'') \quad \text{で} \quad L(G_i'' \parallel S) = L(G_i'' \parallel S')$$

ならば

$$L(G'_i \parallel S) = L(G'_i \parallel S')$$

が成り立つため，本研究の手法で縮約したエージェントネット S' が縮約前に与えられている動作と同じ動作を行うことができるのは保証できる．

3.2.1 エージェントネット縮約の手順

本研究では，エージェントネットの縮約を [12] の手法を基に，以下の手順で行っていく．

手順 1. 環境がエージェントの動作に与える制約を求める

PN^2 では，環境ネットとエージェントネットが同期して発火するので，環境によってはエージェントに与えられている動作を許さない場合がある．エージェントに与えられている各動作に対して，環境がその動作を許すかどうかを表す制御則を求める．制御則は $\psi(t, s)$ と表現され， t はエージェントネットの動作を表す入力記号， s は状態である． $\psi(t, s)$ には $0, 1, dc(don't\ care)$ のいずれかの値が与えられ，それぞれ以下のような意味をもつ．

$\psi(t, s) = 0$ は s から t を遷移させてはいけない．

$\psi(t, s) = 1$ は s から t を遷移させても良い．

$\psi(t, s) = dc$ は s から t を遷移できない．

ここで， $\psi(t, s) = dc$ の場合は，環境がエージェントネットに与える制約により，エージェントネットの状態 s から t の遷移を起こさせないようにしている．

PN^2 にとっての環境とは，

- エージェントの動作に関わらず変化しない環境，つまりエージェントの動作可能な範囲をモデル化した環境ネットのような静的な環境

- 環境ネット上のエージェントの動作によって変化していく動的な環境の2つからなる．そして，エージェントに与えられている動作の中には，
 - 静的な環境の制約だけを受ける動作
 - (静的 + 動的) な環境の制約を受ける動作

の2つがある．

静的な環境による制約のみを受けるエージェントネットの動作の制御則については，環境ネット G による制約のみを受けるので， $G'_i = G$ となり，[12] の手法により求めることができる．

(静的 + 動的) な環境による制約のみを受けるエージェントネットの動作の制御則については，環境ネット G 以外に他のエージェントの動作の制約も受ける．このような場合には3.2 で述べたように， $G \parallel S_i (i = 1, \dots, n)$ の状態遷移図を生成し，(3.2) 式のように $L(G'_i)$ を求め，制御則を求める．このようにして，環境がエージェントの各動作に与える制約を求める．

手順2. マージできる状態対を調べる

エージェントネットの2つの状態対 (x, y) が，縮約する際に1つの状態にマージできるかどうかを調べる．このために，図3.1のようなマージ表を作成する．図3.1は3状態からなるエージェントネットのマージ表である．各状態対 (x, y) が1つにマージできる状態対と判定されたときはt，マージできないと判定されたときはf，未定の場合は以下に定義する $TP(x, y)$ をマージ表のセル (x, y) に埋める．

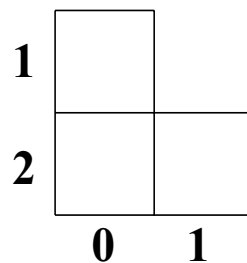


図 3.1: 3 状態のエージェントネットのマージ表

マージ表を埋めていく最初の手順としては，まず以下の (3.3) 式が”偽”となる状態対は f となる．ここで， T は，縮約前のエージェントネットの入力記号の集合を表している．

$$(\forall t \in T)(\psi(t, x) \neq dc \neq \psi(t, y) \Rightarrow \psi(t, x) = \psi(t, y)) \quad (3.3)$$

手順 1 で求められた制御則と (3.3) 式により f となる状態対を求める。次に、まだマージ表の中で空欄となっている状態対 (x, y) に対して、以下の (3.4) 式で示される状態対 (x, y) から共通の入力記号による遷移先の状態対の集合を表す $TP(x, y)$ を求める。

$$TP(x, y) := \{(x', y') \mid x', y' \in S \wedge x' \neq y' \wedge (\exists t \in T : \delta(t, x) = x' \wedge \delta(t, y) = y')\} \quad (3.4)$$

(3.4) 式の S は縮約前のエージェントネットの状態の集合、 δ は状態遷移関数を表している。 $TP(x, y) = \phi$ のときは、セル (x, y) は t となり、 $TP(x, y) \neq \phi$ のときは、セル (x, y) には $TP(x, y)$ が入る。

$TP(x, y)$ が埋められているセル (x, y) に対しては、 $TP(x, y)$ の各要素の状態対 (x', y') のセル (x', y') を参照する。1 つでも f と埋められているセル (x', y') が存在すれば、セル (x, y) に f を埋める。以上の処理を値が変化するセルが存在しなくなるまで繰り返す。

最後に、以上の処理を行っても、 f と決まらないセルについては t とする。

手順 3. 縮約エージェントネットの状態の生成

状態数が最小の縮約エージェントネットを生成する問題は、NP-困難であるため [12]、以下で示す greedy な方法で縮約エージェントネットの状態に相当するブロック (マージする状態集合) を生成する。縮約前のエージェントネットの各状態が 1 つのブロックにしか含まれないようにブロックの生成を行う。ここで、ブロックによってカバーされていない状態の集合 U を与える。最初 U は、ブロックが生成されていない状態なので、縮約前のエージェントネットの状態の集合となっている。

step1: U の中で状態番号が最も小さい状態を含むブロック B を生成し、以下の条件を満たす状態が U の中にあれば、その状態をブロック B に加える。

条件:

ブロック B に入れようとする状態を状態 y とすると、ブロック B の中に既に入っている各状態 $x_i (i = 1, \dots, n)$ において状態 y との状態対 (x_i, y) に対応するマージ表でのセル (x_i, y) がすべて t である。

ただし、セル (x_i, y) に $TP(x_i, y)$ が埋められている場合については、 y を x_i が属するブロック B に入れようとしたとき、 $TP(x_i, y)$ の状態対 (x'_i, y') を部分集合にもつブロック B' も同時に生成する必要がある。 B' を生成できるのであれば、 y をブロック $B (\ni x_i)$ に入れることができるが、生成できなければ y をブロック B に入れることはできない。

step2: step1により, B に入れることのできる状態が決定すれば, U の状態の集合の中から B の状態の集合を取り除く.

step3: step2により, $U = \phi$ でなければ新しいブロックを生成して, step1に戻り, $U = \phi$ であればブロックの生成を終了する.

手順 4. 初期状態および, 状態遷移関数を定義する

縮約エージェントネットの初期状態は, 縮約前のエージェントネットの初期状態の状態を含むブロックとする.

次に, 状態遷移関数は以下のように定義する. ブロック B_i に含まれている各状態から, エージェントネットの各入力記号 a について, その状態からの遷移先の状態を含むブロック B_j を求め, $\delta(B_i, a) = B_j$ とする.

3.2.2 エージェントネットの縮約の例

3つの自動搬送車 AGV1, AGV2, AGV3 をエージェントとして考え, それらのエージェントの動作可能な環境として, 図 3.2 のような環境ネットのもとで動くエージェントシステムについて考えていく. ここで, この環境ネットのスペース E とスペース F では, AGV が 2 つ存在するとき AGV 間同士で通信でき, スペース D では AGV が 3 つ存在するとき, その 3 つの AGV 間同士で通信できる環境を与えている. また, この例の最初の各 AGV の存在場所としては, AGV1 は図 3.2 のスペース A , AGV2 はスペース C , AGV3 はスペース F に存在するものとして与える.

AGV1, AGV2, AGV3 には以下のような動作命令を与える.

$$AGV1 : A(\rightarrow E(\rightarrow talk)^* \rightarrow F \rightarrow D((\rightarrow talk) \text{ or } (\rightarrow A \rightarrow D) \text{ or } (\rightarrow E(\rightarrow talk)^* \rightarrow F \rightarrow D)))^* \rightarrow B \rightarrow A)^*$$
$$AGV2 : C(\rightarrow D(\rightarrow talk)^* \rightarrow B \rightarrow C)^*$$
$$AGV3 : F((\rightarrow talk)^* \rightarrow D(\rightarrow talk)^* \rightarrow E(\rightarrow talk)^* \rightarrow F)^*$$

ここで, $()^*$ は繰り返しを表す. 以上のような各 AGV の動作命令をそのままモデル化したエージェントネットは, それぞれ図 3.3, 図 3.4, 図 3.5 のようになる. なお本研究では, 有限オートマトンで表現できるようなエージェントネットの縮約であるので, エージェントネットを有限オートマトンで表現している.

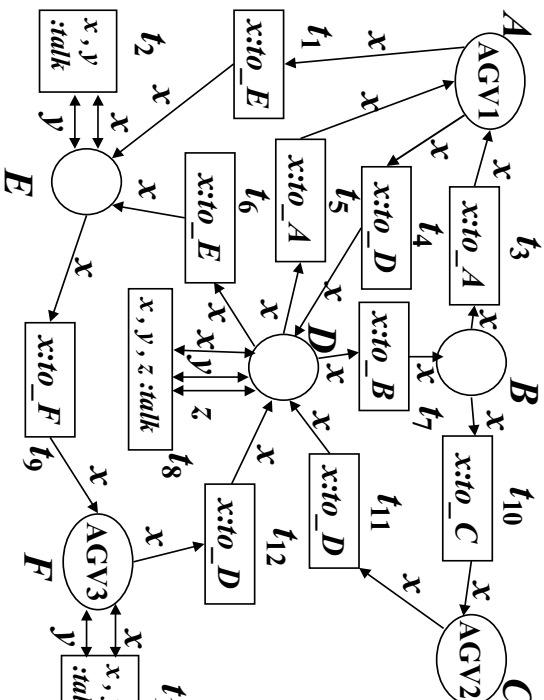


図 3.2: エージェントの環境ネットワーク

本論文では，このような PN^2 を例に挙げ，縮約の対象の例として，図 3.3 の AGV1 の エージェントネットワークの縮約を 3.2.1 で述べた手順に従って行っていく．

手順 1. 制御則を求める

静的な環境 (環境ネットワーク) の制約のみを受ける動作の制御則

$talk$ 以外のすべての動作は，他の AGV とは依存しない動作であるので，静的な環境 (環境ネットワーク) が与える制約だけで制御則を求めることができる．例として， $talk$ 以外の図 3.3 の AGV1 の状態 0 からの制御則について求める．状態 0 の時に AGV1 は図 3.2 の環境ネットワークのプレーン A に存在する．図 3.2 よりプレーン A からは， to_D あるいは to_E の遷移が許されている．そして，図 3.3 の AGV1 の状態 0 からは to_E による遷移のみが与えられている．よって， to_E については，環境もエージェントも共に遷移を許しているので， $\psi(to_E, 0) = 1$ とする．

また， to_D については環境では遷移が許されているが，図 3.3 の状態 0 からは与えられていない動作命令であるので起こしてはいけない．よって， $\psi(to_D, 0) = 0$ とする． to_D ， to_E 以外の遷移については，環境が許していない遷移なので，制御則が dc となる．このように，図 3.3 のすべての状態について求めていくと，AGV1 の $talk$ 以外の動作の dc を除いた制御則は以下ようになる．

$$\psi(to_E, 0) = 1 \quad \psi(to_D, 0) = 0$$

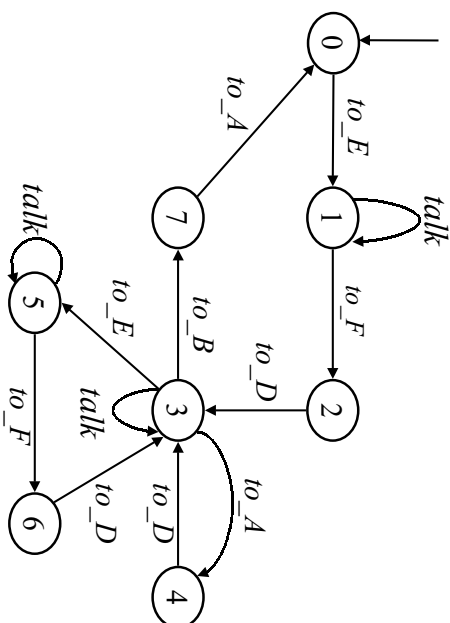


図 3.3: AGV1 のエージェントネットワーク

$$\begin{aligned}
 \psi(to_F, 1) &= 1 & \psi(to_D, 2) &= 1 \\
 \psi(to_A, 3) &= \psi(to_B, 3) = \psi(to_E, 3) = 1 \\
 \psi(to_D, 4) &= 1 & \psi(to_E, 4) &= 0 \\
 \psi(to_F, 5) &= 1 & \psi(to_D, 6) &= 1 \\
 \psi(to_A, 7) &= 1 & \psi(to_C, 7) &= 0
 \end{aligned}$$

(静的 + 動的) な環境の制約を受ける動作の制御則

$talk$ は他の AGV と協調して起きる動作なので，他の AGV の動作によって変化する動的な環境の制約も受ける．よって， $talk$ の制御則を求めるには，他の AGV の動作を調べる必要がある．これらの動作の求め方は，3.2 で述べたように(環境ネットワーク || 各 AGV) の状態遷移図を生成して，各 AGV の動作の上界を求める．(環境ネットワーク || 各 AGV) の状態遷移図はそれぞれ図 3.6，図 3.7，図 3.8 のようになる．

ここで，状態遷移図の状態は $(0, A)$ で表され，0 はエージェントネットワークの状態，A はその 0 の状態のときにエージェントが存在する環境ネットワークのプレイスを表している．この状態遷移図により，各 AGV の

- 到達する可能性のあるプレイス
- $talk$ を起こす命令が与えられているプレイス

を求めることができる．このように各 AGV の動作可能性を求め，環境 (環境ネットワーク || AGV2, AGV3) によって AGV1 の $talk$ の遷移が許されるかどうかを調べると，AGV1 の $talk$

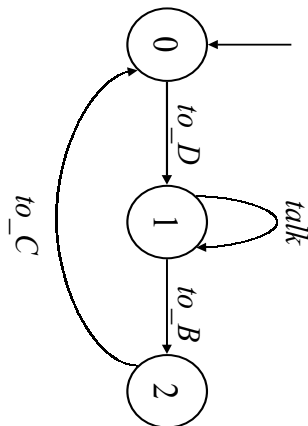


図 3.4: AGV2 のエージェントネットワーク

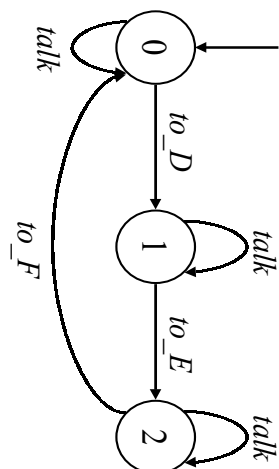


図 3.5: AGV3 のエージェントネットワーク

に関する制御則は以下のように求めることができる．

$$\begin{aligned}
 \psi(\text{talk}, 0) &= dc & \psi(\text{talk}, 1) &= 1 \\
 \psi(\text{talk}, 2) &= 0 & \psi(\text{talk}, 3) &= 1 \\
 \psi(\text{talk}, 4) &= dc & \psi(\text{talk}, 5) &= 1 \\
 \psi(\text{talk}, 6) &= 0 & \psi(\text{talk}, 7) &= dc
 \end{aligned}$$

手順 2. ヌージ表を埋める

図 3.3 のエージェントネットワークに与えられているすべての状態対についてヌージできるかどうかを調べるために図 3.9 のようなヌージ表を生成する．

ヌージ表を埋める最初の処理として，手順 1 で求めた制御則により，(3.3) 式で偽となる状態対，つまり f となる状態対を求めていく．例えば，手順 1 で求められた入力記号が talk の 2 つの制御則 $\psi(\text{talk}, 2) = 0$, $\psi(\text{talk}, 3) = 1$ については，両方とも値が dc でなく，

$$(\psi(\text{talk}, 2) = 0) \neq (\psi(\text{talk}, 3) = 1)$$

となり，(3.3) 式が偽となるので，セル (3,2) は f となる．

次に，まだ f と求められていない状態対に対して，(3.4) 式により $TP(x, y)$ を求める． $TP(x, y) = \phi$ のときは，セル (x, y) は t となり， $TP(x, y) \neq \phi$ のときは，セル (x, y) には $TP(x, y)$ が入る．(3.4) 式の処理の後の AGV1 のヌージ表は，図 3.9 のようになる． $TP(x, y)$ が埋められているセル (x, y) に対しては，図 3.9 のように $TP(x, y)$ の要素であるセル (x', y') を参照して，セル (x, y) の f を求める．セル (x', y') が 1 つでも f であれば，セル (x, y) には f が埋められる．そうすると図 3.9 から，

セル (7, 3) は， f であるセル (4, 0) への参照により f

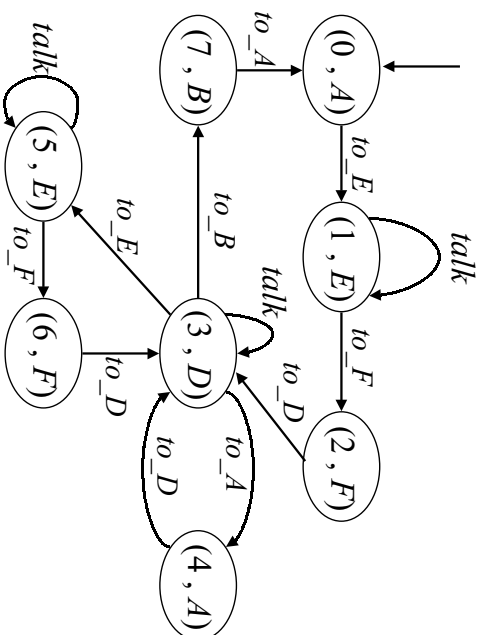


図 3.6: 環境ネットワーク \parallel AGV1 の状態遷移図

セル (5, 1) は, t であるセル (6, 2) への参照により t
 セル (3, 0) は, t となったセル (5, 1) への参照により t

となる. ここでセル (5, 1) とセル (3, 0) については, t かつ $TP(x, y)$ があるので, セル (5, 1) は $TP(5, 1) = \{(6, 2)\}$ を, セル (3, 0) は $TP(3, 0) = \{(5, 1)\}$ を残すというように, $TP(x, y)$ をセル (x, y) に残しておく. 以上でマージ表は完成される.

手順 3. 縮約エージェントネットの状態の生成

まず, U の中で状態番号が最も小さい 10 を含むプロットク B_0 を生成し, U の中からその B_0 に入れることができる状態を B_0 に入れていく. 図 3.9 から状態 1 は, セル (1, 0) が t なので $B_0 = \{0\}$ に 1 を入れる. 状態 2 は, 2 と 0 が f なので B_0 に入れることはできない. 状態 3 は, 0 と 1 と t なので $B_0 = \{0, 1\}$ に入れることができるが, その時に図 3.9 より, セル (3, 0) には遷移先の状態対として $TP(3, 1) = \{(5, 1)\}$ があり, またセル (5, 1) には遷移先の状態対として $TP(5, 1) = \{(6, 2)\}$ が存在する. よって, $\{3, 0\}$ を部分集合にもつプロットクを生成するとき, $\{5, 1\}$ と $\{6, 2\}$ を部分集合にもつプロットクも考慮する必要がある. ここで図 3.9 より,

状態 5 は, $B_0 = \{0, 1, 3\}$ に入れることができ, $\{5, 1\} \subset B_0$ となる.

しかし, $\{6, 2\}$ は $B_0 = \{0, 1, 3, 5\}$ に入れることができない.

よって, B_0 とは別に $\{6, 2\}$ を部分集合にもつプロットクを新たに生成する必要がある. 次に U の残りの 4 と 7 については, 4 と $0 (\in B_0)$ が f , 7 と $3 (\in B_0)$ が f なので共に B_0 に入れることができず, 結局

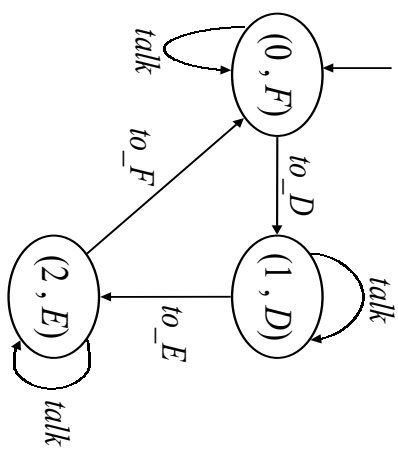
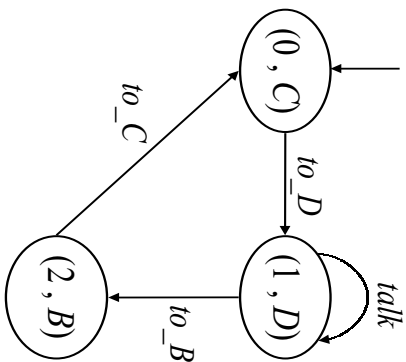


図 3.7: 環境ネットワーク \parallel AGV2 の状態遷移図 図 3.8: 環境ネットワーク \parallel AGV3 の状態遷移図

$$B_0 = \{0, 1, 3, 5\} \text{ で決定し, } U \leftarrow U - B_0$$

により, $U = \{2, 4, 6, 7\}$ となる.

次に, 新しいプロックとして U の中で状態番号が最も小さい 2 を含むプロック B_1 の生成を行う. ここで, 生成した B_0 より, $\{6, 2\}$ を部分集合にもつプロックを生成する必要があるので, まず 6 を $B_1 = \{2\}$ に入れる. 残りの 4 と 7 においては図 3.9 より, 4 は $B_1 = \{2, 6\}$ に入れることができ, 7 も $B_1 = \{2, 4, 6\}$ に入れることができる. 結局

$$B_1 = \{2, 4, 6, 7\} \text{ で決定し, } U \leftarrow U - B_1$$

により $U = \emptyset$ となるので, プロックの生成を終了する.

以上のようにプロックを生成していくと, 最終的に図 3.3 の AGV1 のエージェントネットワークは 8 状態から,

$$B_0 = \{0, 1, 3, 5\} \quad B_1 = \{2, 4, 6, 7\}$$

の 2 状態へ縮約することができる.

手順 4. 初期状態および状態遷移関数の定義

AGV1 のエージェントネットワークは, 図 3.3 より 0 が初期状態であるので, 0 を含むプロック B_0 が縮約エージェントネットワークの初期状態となる.

手順 3 で生成した $B_0 = \{0, 1, 3, 5\}$ からの状態遷移関数は, 図 3.3 より以下のように求められる.

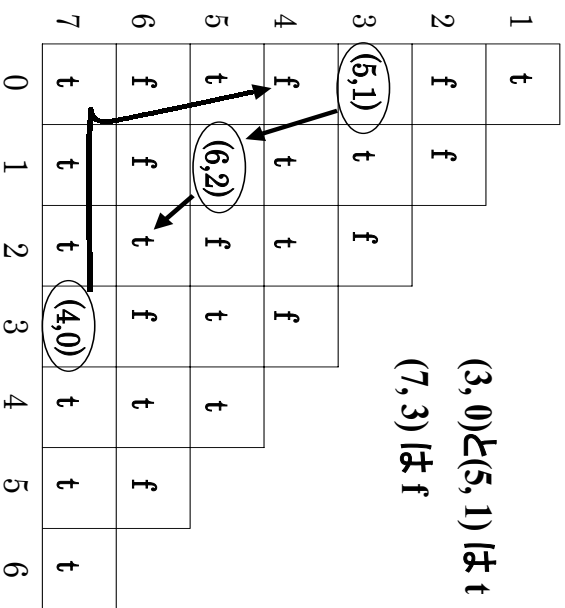


図 3.9: AGV1 のエージェントネットのサイズ表

$to_A : \{3\} \rightarrow \{4\} \subset B_1$, $to_B : \{3\} \rightarrow \{7\} \subset B_1$

$to_D : B_0$ の中のどの状態からも与えられていない入力記号

$to_E : \{0, 3\} \rightarrow \{1, 5\} \subset B_0$, $to_F : \{1, 5\} \rightarrow \{2, 6\} \subset B_1$

$talk : \{1, 3, 5\} \rightarrow \{1, 3, 5\} \subset B_0$

ここで , to_D の遷移については B_0 から起きることはいない .

以上により ,

$$\delta(B_0, to_A) = B_1 , \delta(B_0, to_B) = B_1$$

$$\delta(B_0, to_E) = B_0 , \delta(B_0, to_F) = B_1$$

$$\delta(B_0, talk) = B_0$$

となる . 同様に , $B_1 = \{2, 4, 6, 7\}$ からの状態遷移関数は以下のように求められる .

$$to_A : \{7\} \rightarrow \{0\} \subset B_0$$

$$to_D : \{2, 4, 6\} \rightarrow \{3\} \subset B_0$$

$to_B, to_E, to_F, talk : B_1$ の中のどの状態からも与えられていない入力記号

ここで , $to_B, to_E, to_F, talk$ の遷移については B_1 から起きることはいない .

以上により ,

$$\delta(B_1, to_A) = B_0$$

$$\delta(B_1, to_D) = B_0$$

となる．以上の手順で行うと，AGV1のエージェントネットは図3.3から図3.10のように縮約できる．図3.4のAGV2と図3.5のAGV3のエージェントネットについても以上のような方法で縮約を行うと，図3.11, 図3.12のような縮約エージェントネットを生成できる．

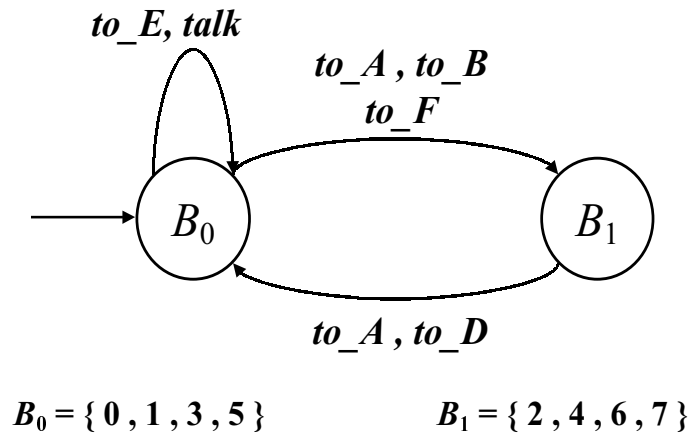


図 3.10: 図 3.3 の縮約エージェントネット

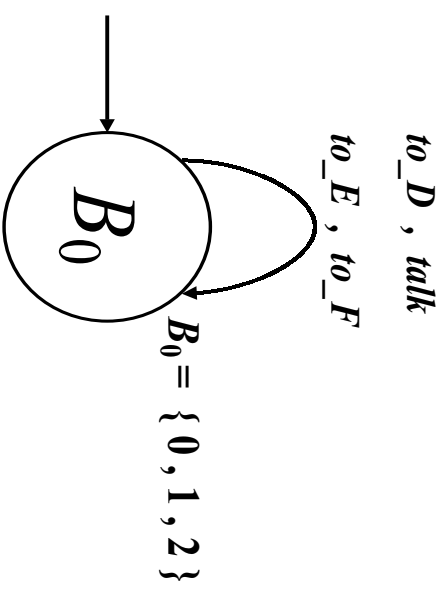
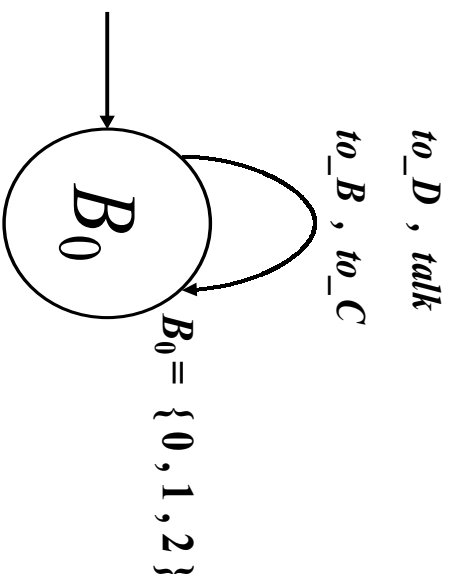


図 3.11: 図 3.4 の縮約エージェントネットワーク 図 3.12: 図 3.5 の縮約エージェントネットワーク

第4章 PN^2 から 1 階層のペトリネットへの変換について

本章では, PN^2 のマーキング及び PN^2 のトランジションの発火によるマーキングの変化を表現できるような 1 階層のペトリネット (プレース/トランジションネット) の変換を行う. 以降, プレース/トランジションネットを PN と表記する.

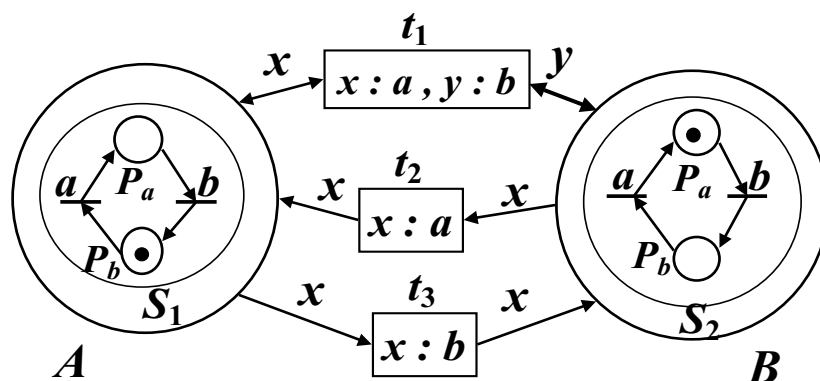


図 4.1: PN^2 の例

例えば, 図 4.1 に示すエージェントネット S_1 と S_2 からなる PN^2 に対して, 本研究で述べる手法で PN^2 から PN へ変換すると図 4.2 の PN となる. 環境ネット上に存在するそれぞれのエージェントネットに対して, そのエージェントネットのマーキング及びエージェントネットの環境ネット上の存在場所を PN で表現することによって, PN^2 のマーキングを表現している.

- 図 4.2 のプレース P_{1A}, P_{1B} は, 環境ネット上の S_1 の存在場所を表すためのプレースとして与えている, 最初 S_1 は, 環境ネットのプレース A に存在しているのでプレース P_{1A} にトークンを与えることによって S_1 の存在場所を表現している. また, 図

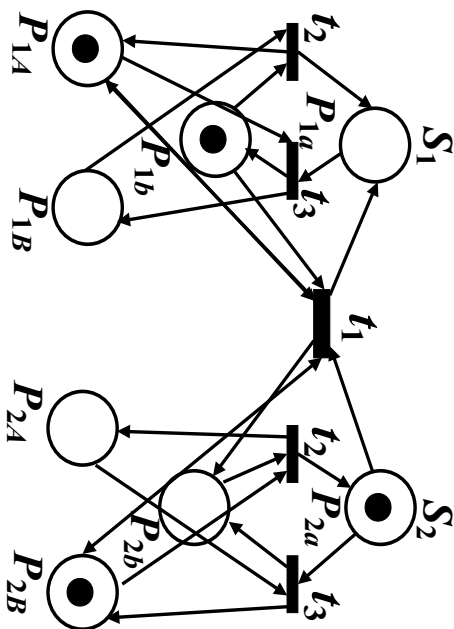


図 4.2: 図 4.1 の PN^2 を変換した PN

4.1 の S_1 のプレース P_a, P_b に対して, 図 4.2 の PN では S_1 のプレースの集合 P_{1a}, P_{1b} を与えることにより, S_1 のヌーキングを表現している. 他のエージェントについてもこのように PN で表現することにより, PN^2 のヌーキングを PN で表現している.

- 図 4.1 の t_1 のトランジションは, PN では図 4.2 の t_1 に対応しており, 図 4.2 の PN の t_1 の発火後のヌーキングは, 図 4.1 の PN^2 の t_1 の発火後のヌーキングに対応するようにトランジションの発火を表現している.

本研究での PN^2 に対しての PN の変換法とは, PN^2 の初期ヌーキングを M_0 とし, その M_0 を表現している変換した PN のヌーキングを m_0 とすると,

$$L(PN^2, M_0) = L(PN, m_0)$$

が成り立ち, さらに PN^2 のトランジションに対応する PN のトランジションのそれぞれの発火後の PN^2 と PN のヌーキングを対応させる写像が定義できるような PN への変換を行う. ここで, $L(PN^2, M_0)$ とは, PN^2 の初期ヌーキング M_0 から始まる発火系列の集合を表しており, $L(PN, m_0)$ とは M_0 を表現している PN のヌーキング m_0 から始まる発火系列の集合を表している. このような変換を行うことにより, PN の解析手法として既に存在している

- 到達可能性
- 活性 (デッドロックが起こらない性質)
- システムのインバリアント (不変量)

の解析手法を変換した PN に適用することにより，変換前の PN^2 の解析を行うことができる．なお， PN へ変換する前に，有限オートマトンで表現できるようなエージェントネットについては，3章で述べた縮約法を用いて縮約しておくことができる．

なお，図 4.2 で示した PN の構成法は，後の 4.2 で述べる方法 1 に基づいた PN の変換であり，図 4.1 では環境ネット上のエージェントネットの数が変化しなかったため変換できたが，エージェントネットが無限に増えてしまうような場合は，構成上 PN に変換できない．よって， PN^2 を PN へ変換する前に，エージェントネットの数が有限になるのかどうかを調べる必要がある．

4.1 PN^2 の有界性とその判定方法

PN の各ブレースに入るトークンの数に上限が存在する PN の性質のことを有界性と呼んでおり，上限が存在する PN は有界，逆に上限が存在しない PN は非有界であると呼ばれる． PN^2 では環境ネットとエージェントネットの 2 階層のペトリネットで構成されているので，環境ネットの有界性とエージェントネットの有界性の 2 種類の有界性が PN^2 には存在する．

環境ネットが有界であるときは有界な PN^2 ，逆に非有界であるときは非有界な PN^2 と呼び，環境ネット上のすべてのエージェントネットが有界であるときは有限ソートの PN^2 ，そうでないときは無限ソートの PN^2 と呼ぶ．

4.1.1 有界性の判定方法

有界性の判定法として， PN の解析手法として既に存在している被覆木を用いる [2]．被覆木はエージェントネットの各マーキングをノードとし，発火可能なトランジションを有向枝に対応させた有向木である． PN が有界でなければ，とりうるマーキングの数が無限になるので生成される木の大きさも無限に大きくなる．これを避けるために，被覆木では，ブレースに入りうるトークンの数が無限に大きくなることを表す記号 ∞ を導入することにより，木の大きさを有限に抑えている．よって，被覆木のどのノードの中にも ∞ が存在しなければ，その PN は有界と判定される．このように被覆木ではノードの中の ∞ の存在の有無で有界性の判定を行う．

PN^2 の有限ソート性の判定

まず有限ソートかどうかの判定については，各エージェントネット $S_a (a = 1, \dots, n)$ を環境ネット上に 1 つだけ入れ，その S_a の初期マーキングから環境ネットのトランジションの中に発火可能なトランジション成分があれば，そのトランジション成分を発火させて新しいマーキングを得ることにより，各 S_a の被覆木を生成する．他のエージェントと S_a が共に発火可能かどうかについては考えずに，各 S_a を動作させているので，

本研究の S_a 上のトークンの総数

実際の S_a 上のトークンの総数

である．したがって， S_a の被覆木で S_a が有界と判定されれば，実際の S_a のエージェントネットも有界であると判定できる．しかし，本研究の手法で S_a が非有界と判定されたときは，上のような大小関係になるので，実際の S_a が非有界であるとは限らない．このように，各 S_a の有界性の判定を行うことにより， PN^2 の有限ソート性の判定を行う．

PN^2 の有界性の判定

環境ネット上に存在するエージェントネットをすべて黒丸のトークンと置き，また環境ネットにあるトランジションをすべて黒四角のトランジションと置いたペトリネット PN を考え，被覆木を用いてこの PN の有界性を判定する．

PN では，環境ネットのトランジションのトランジション成分の制約は受けずにエージェントネットつまり PN でのトークンが存在するだけで発火できる．よって，環境ネットのトランジションの発火条件が，すべてのトランジション成分が発火可能でないと発火できない実際のトランジションの発火条件よりも緩くなっていることから

本研究の環境ネット上での
エージェントネットの総数

実際の環境ネット上での
エージェントネットの総数

になるので， PN が有界と判定されれば，置き換える前の PN^2 も有界と判定される．しかし，本研究の手法で PN が非有界と判定されたときは，上のような大小関係になるので，置き換える前の PN^2 が非有界であるとは限らない．

4.1.2 有界性判定の例

例として，図 4.3 の環境ネットと図 4.4 のエージェントネットで構成される PN^2 について，4.1 で述べた方法で 2 種類の有界性の判定を行う．

PN^2 の有限ソート性の判定

まず， PN^2 の有限ソート性の判定を行うために，図 4.4 のエージェントネットの有界性の判定を行う．図 4.4 のエージェントネットの被覆木は図 4.5 のように生成することができる．

図 4.5 の被覆木について説明すると，被覆木の各ノードはエージェントネットのマーキングとそのマーキングの時にエージェントネットが存在する環境ネットのプレースの 2 つで構成されている．例えば，最初 AGV のエージェントネットは (1 0 1 0) というマーキン

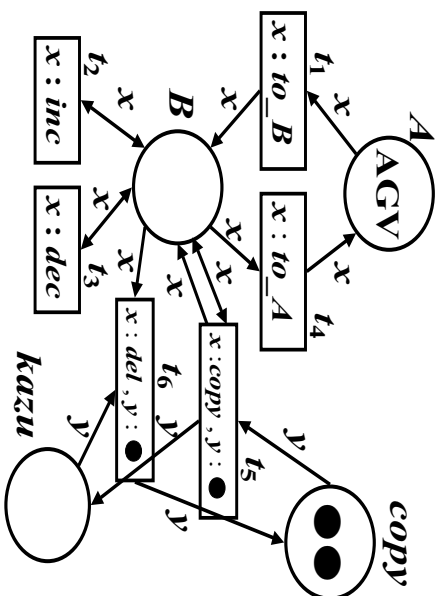


図 4.3: 環境ネットワーク

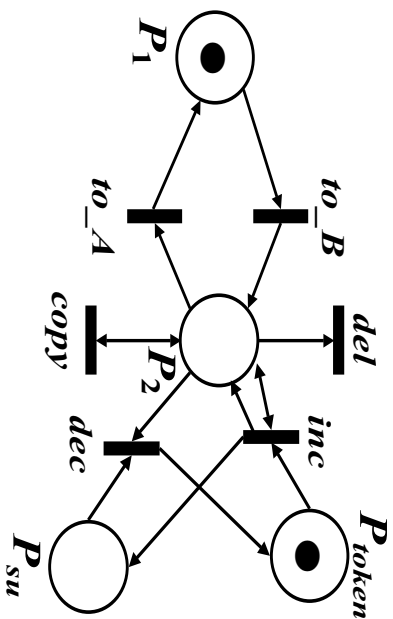


図 4.4: 図 4.3 の AGV のイベントネットワーク

グで環境ネットワークのプレーヌ A に存在しているので, $((1010), A)$ が被覆木の初期ノードとなっている. そして, 初期ノードから発火可能なトランジション成分が存在すれば, 発火させて新しいノードを生成し, さらにそのノードからも発火可能なトランジション成分があれば新しいノードを生成することによって木を生成していく.

なお, 図 4.5 の消滅と書かれたノードについては, 環境ネットワークのトランジション t_6 のトランジション成分 $x:del$ は発火後の出力イベントネットワーク数が 0 で, このトランジション成分を発火できるイベントネットワークは, $x:del$ の発火により環境ネットワーク上から消えてしまうので, 消滅と書いている.

この図 4.5 の AGV のイベントネットワークの被覆木には, どのノードにも P_{token} が存在していないので有界と判定される. 環境ネットワーク上の全てのイベントネットワークが有界であれば, P_{N^2} は有限ソートであるので, この P_{N^2} の例は有限ソートであると判定できる.

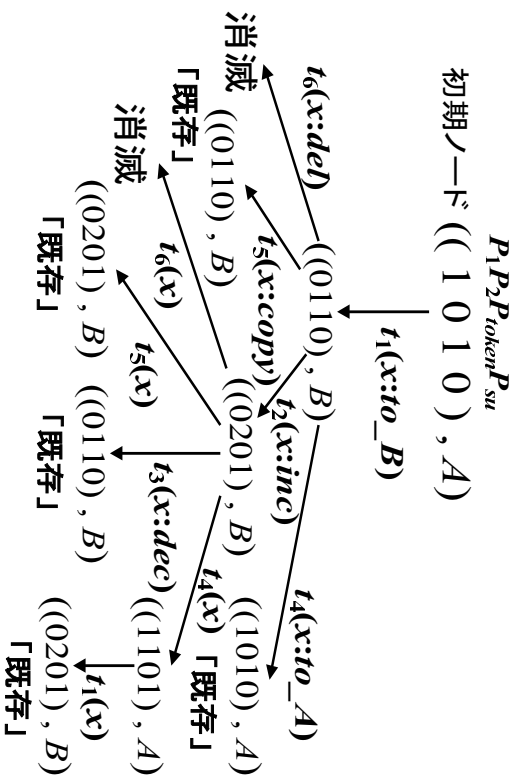


図 4.5: 図 4.4 のエージェントネットの被覆木

P_{N^2} の有界性の判定

図 4.6 のように図 4.3 の環境ネットの中のエージェントネットを黒丸トークン, トランジションを黒四角のトランジションに置き換えたペトリネット P_N を考える. 図 4.6 の P_N に対する被覆木は, 図 4.7 のようになる.

図 4.6 の P_N に対する被覆木は図 4.7 になる. 図 4.7 では, 結局 ほとどのノードにも存在しなかったので, この例の P_{N^2} は有界であると判定できる.

4.2 P_{N^2} の変換方法について

4.1 で有界で有限ソートと判定された P_{N^2} においては, 被覆木によって以下の値を求めることができる.

S_{max} : 環境ネット上に存在できるエージェントネットの上界の数. P_{N^2} の有界を判定する被覆木により求めることができる. 被覆木のノードの中で各ブレースに入るトークンの数の総和が最も大きいときの値が S_{max} となる.

$B(P_{acc})$: 各エージェントネット $S_a (a=1, \dots, n)$ の中の各ブレース $P_c (c=1, \dots, |P(S_a)|)$ に入りうるトークンの上界の数. 各 S_a の有界性を判定する被覆木により求めることができる. ここで, $P(S_a)$ は S_a のブレースの集合を表す.

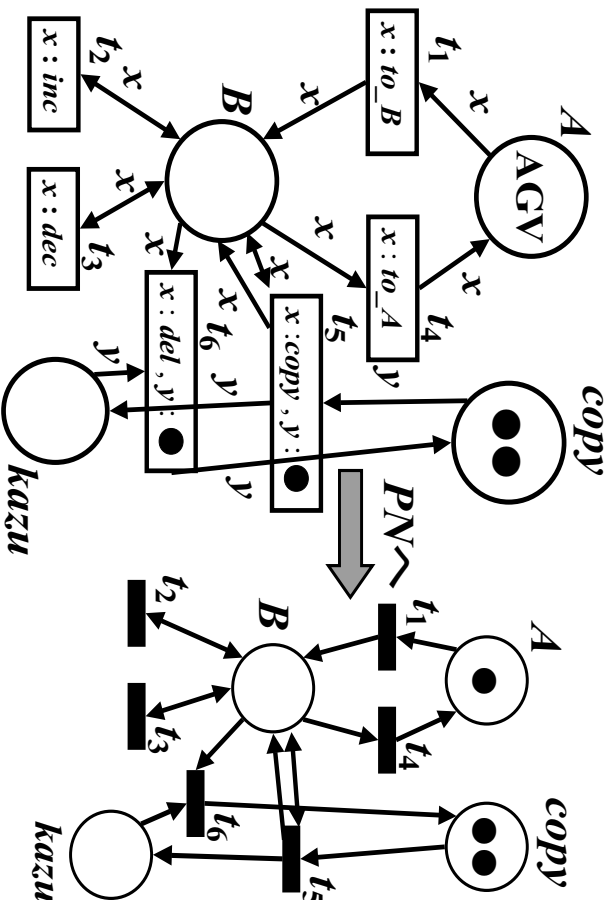


図 4.6: PN^2 の有界を判定するための PN への置き換え

$M(S_a)$: 各 $S_a(a = 1, \dots, m)$ のとりうるマーカーキングの有限集合 . 各 S_a の有界性を判定する被覆木により求めることができる .

$N(t_{l,m})$: 環境ネットの各トランジション $t_l(l = 1, \dots, L)$ の各トランジション成分 $m(m = 1, \dots, |E_l|)$ を発火できるエージェントネットのマーカーキングの有限集合 . ここで , E_l は t_l のトランジション成分の集合を表す .

これらの値を基に , まず有界で有限ソートと判定される PN^2 についてのペトリネットへの変換方法 (方法 1 , 方法 2) について述べていく . ここで , 結果から先に示すと , 方法 1 と方法 2 でペトリネットに変換できる PN^2 のクラスは表 4.1 のようになる . は変換可能 , \times は変換不可能を表しており , は PN^2 の動作を近似的にシミュレートするようなペトリネットの変換であれば , 方法 1 に基づいた PN の構成法で可能であることを示している . この方法については , 後の 4.3.2 のところで述べる .

また , この表の 箇所は , トランジション成分の入力が高々 1 つしかない PN^2 のクラスであれば , 変換可能であるということを表している . これについても , 4.3.2 で述べる . なお , 図 4.1 で示した PN^2 のクラスは , 表 4.1 でいう有限ソートで有界 (コピーなし) の PN^2 に相当する .

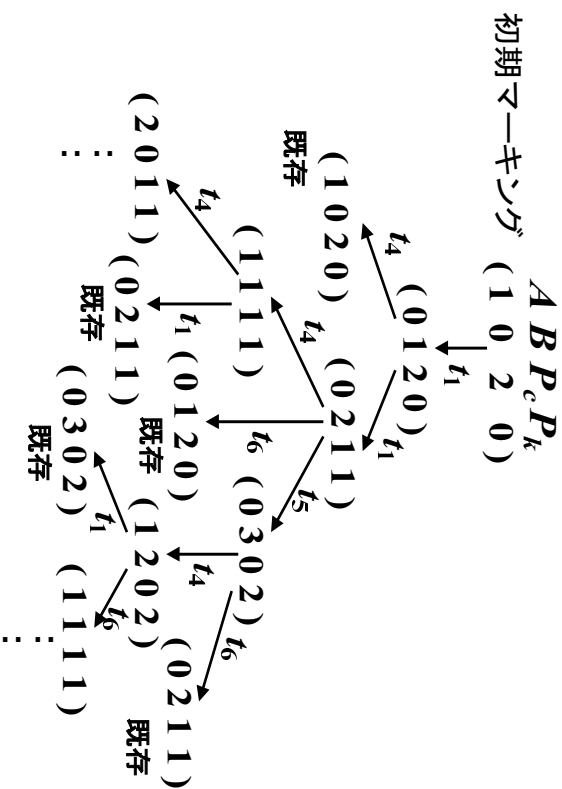


図 4.7: 置き換えた PN の被覆木

4.3 方法 1

環境ネットワーク上の各エージェントネットワーク $S_a (a=1, \dots, n)$ に対して, S_{max} 個のエージェント ネットを与え, 各 $S_{ab} (b=1, \dots, S_{max})$ のすべてが S_a と同じ動作を実現できるように, それぞれの S_{ab} を PN で表現していく.

方法 1 では, PN^2 の 1 つのマーカーキングに対して複数のマーカーキングが対応する. 例えば, $S_{max} = x$ で S_1 というエージェントネットワークがグループ A に 1 つ存在しているということを PN で表現しようとする, S_1 を x 個与えているので, $S_{11} \sim S_{1x}$ の中のどれか 1 つを環境ネットワーク上に存在させれば表現できる. これを PN では, $S_{11} \sim S_{1x}$ の中からのエージェントネットワークの 1 つの選び方が, 1 つのマーカーキングに対応するため, PN^2 の 1 つのマーカーキングに対して PN では x 個のマーカーキングが対応する. このことから, この PN では, PN^2 の 1 つのマーカーキング M に M のマーカーキングの集合 $\alpha(M)$ が対応することになる.

また, PN^2 での 1 つのマーカーキング t の発火を PN で表現するために, PN^2 での t に対し, PN では t のマーカーキング束縛ごとに 1 つのマーカーキングを生成していき, それらの集合 $\beta(t)$ を与える. ここで t のマーカーキング束縛とは, t を発火できる 1 つの方法 (t の各マーカーキング成分を発火できるマーカーキングの組合せ) を表している.

よって, PN^2 でのマーカーキング t に対応する PN のマーカーキングはマーカーキング集合 $\beta(t)$ となる. この時,

$f(m_0)$: $\alpha(M)$ の任意の要素のマーカーキング m_0 に対応する PN^2 のマーカーキング

$g(t)$: $\beta(t)$ の各マーカーキング t に対応する PN^2 のマーカーキング

表 4.1: 方法 1 および方法 2 で変換できる PN^2 のクラス

	有界 (コピーなし)		有界 (延べ コピー回数 が有限)	有界 (延べ コピー回数 が無限)	非有界
有限ソート	方法 1				×
	方法 2				
無限ソート	方法 1			×	×
	方法 2	×	×	×	×

とすると, 方法 1 での PN^2 の動作を保存するペトリネットの変換とは,

$$PN \text{ で } m_0 \xrightarrow{t} m_1 \text{ ならば } PN^2 \text{ で } f(m_0) \xrightarrow{g(t)} f(m_1) \text{ かつ}$$

$$PN^2 \text{ で } M_0 \xrightarrow{T} M_1 \text{ ならば}$$

$$PN \text{ で } (\exists m_0 \in f^{-1}(M_0), \exists m_1 \in f^{-1}(M_1), \exists t \in g^{-1}(T))(m_0 \xrightarrow{t} m_1)$$

が成り立つような変換である. ここで, $m_0 \xrightarrow{t} m_1$ の意味は m_0 から t の発火によって m_1 に到達できるということを表している.

PN のプレース

- S_a の各 $S_{ab}(b = 1, \dots, S_{max})$ ごとに, S_a のプレースの集合 $P(S_a)$ を与え, その集合の要素の各プレース $P_{abc}(c = 1, \dots, |P(S_a)|)$ に対して, P_{abc} に入るトークンの数を表す番号として d を与え, $P_{abc(d)}(d = 0, \dots, B(P_{ac}))$ のプレースを与える. これにより, S_a のとりうる全てのマーキングを, 与えたプレースによって表現できる.
- S_a の各 $S_{ab}(b = 1, \dots, S_{max})$ が環境ネットのどのプレースに存在しているかを表現するために, 環境ネットのプレースの数が K 個あるとすると各 S_{ab} に対して, $P_{ab1}, P_{ab2}, \dots, P_{abK}$ のプレースを与える. なお, エージェントネットが内部状態をもたない黒丸のトークン に対しても, $P_{1}, P_{2}, \dots, P_{K}$ のプレースを与える.
- 各 S_{ab} が環境ネット上に存在しているかを表現するためのプレースとして, 各 S_{ab} に対して, P_{abnot} を与える. P_{abnot} にトークンが入っているときは, S_{ab} が環境ネット上に存在していないことを表しており, 環境ネット上に存在している S_{ab} 以外の他

の $S_a(S_{a1}, \dots, S_{a(b-1)}, S_{a(b+1)}, \dots, S_{amax})$ のマーキングを S_{ab} にコピーできる状態を表している。

PN^2 から方法 1 で PN へ変換した時のプレースの数は以下の値となる。

$$K + \sum_{a=1}^n \left(S_{max} \times (K + 1 + \sum_{c=1}^{|P(S_a)|} (B(P_{ac}) + 1)) \right) \quad (4.1)$$

ここで, (4.1) 式の最初の K は, エージェントネットが のときのために与える環境ネットのプレースの数を表しており, $(K + 1 + \sum_{c=1}^{|P(S_a)|} (B(P_{ac}) + 1))$ の $K + 1$ の K は各 S_{ab} に与える環境ネットのプレースの数, 1 はプレース P_{abnot} を表している。そして, $(B(P_{ac}) + 1)$ の 1 は S_{ab} のプレース P_c に入るトークンの数が 0 の時のプレース $P_{abc(0)}$ を表している。

PN のトランジション

環境ネットの各トランジション $t_l (l = 1, \dots, L)$ に対し, t_l のトランジション束縛の集合を与える。 t_l に対してのトランジション束縛の集合の要素数は, t_l の各トランジション成分 $m (m = 1, \dots, |E_l|)$ を発火できるマーキングの数の総積となる。ただし, 各 S_a ごとに S_{max} 個のエージェントネットが与えられているので, m を発火できる 1 つのマーキングに対して, S_{max} 個のエージェントネットを考える必要がある。

例えば, 図 4.8 で S_1 のあるマーキングが t_1 の $x : a$ を発火できるとき, x へのエージェントネットの入力数が 3 , $S_{max} = 5$ であるとする, x が発火するには S_1 が 3 つ必要となるので, 5 個の S_1 の中から 3 つを取り出し, またその選んだ 3 つの S_1 の入力プレースへの割り当て方の 1 つ 1 つが x を発火できる 1 つの方法となるので, 発火できる 1 つのマーキングに対して ${}_5P_3$ というように順列の数を考える必要がある。ただし, 入力プレース B から x への入力数は 2 であるので, プレース B に入る 2 つの S_1 については B に入るエージェントネットの組合せだけを考えればよい。

よって, 図 4.8 の例で, トランジション成分 x を発火できる 1 つのマーキングに対して必要なトランジションの数は, $\frac{{}_5P_3}{1!2!} = 30$ となる。分母の $1!$ の 1 はプレース A から m への入力数, $2!$ の 2 はプレース B から m への入力数を表している。これを一般的に書くと, t_l のトランジション成分 m を発火できる 1 つのマーキングに対して与えるトランジションの数は (4.2) 式となる。

$$\frac{S_{max} P_{IN}(t_{l,m})}{\prod_{q=1}^{Q(t_{l,m})} (IN(t_{l,m}[q])!)} \quad (4.2)$$

ここで, (4.2) 式のそれぞれの値は以下のことを表している。

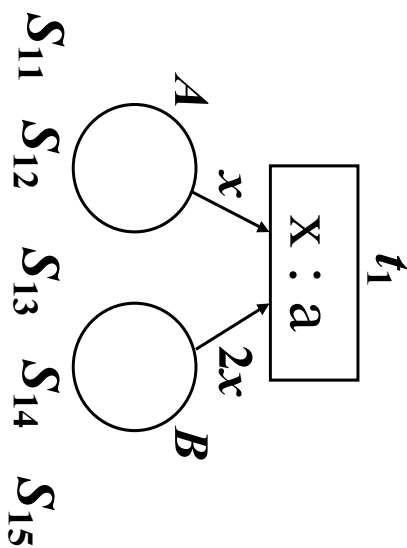


図 4.8: 複数の入力をもつトランジション成分の例

$IN(t_{l,m})$: t_l の m へのエージェントネットワークの入力数

$Q(t_{l,m})$: t_l の m への入力プロセスの数

$IN(t_{l,m}[q])(q = 1, \dots, Q(t_{l,m}))$: 入力プロセス $t_{l,m}[q]$ から t_l の m への入力数

$$IN(t_{l,m}) = \sum_{q=1}^{Q(t_{l,m})} IN(t_{l,m}[q])$$

ただし, トランジション成分 m からのエージェントネットワークの出力数を示す $OUT(m)$ がエージェントネットワークの入力数を表す $IN(m)$ よりも大きくなるトランジション成分 m については m の発火により, $OUT(m) - IN(m)$ のエージェントネットワークが増えるので, $S_{max} - IN(m)$ のエージェントネットワークの中から, 発火により増える $OUT(m) - IN(m)$ 個のエージェントネットワークを選ぶ組合せを考える. したがって, $IN(t_{l,m}) < OUT(t_{l,m})$ となるトランジション成分 $t_{l,m}$ を発火できる 1 つのローキングに対して与えるトランジションの数は (4.3) 式となる.

$$\frac{S_{max} P_{IN(t_{l,m})}}{\prod_{q=1}^{Q(t_{l,m})} (IN(t_{l,m}[q])!)^{\times}} \times \binom{S_{max} - IN(t_{l,m})}{(OUT(t_{l,m}) - IN(t_{l,m}))} \quad (4.3)$$

以上より, トランジション成分 $t_{l,m}$ に対して与えるトランジションの数は, その $t_{l,m}$ の $IN(t_{l,m})$ と $OUT(t_{l,m})$ の大小によって, (4.5) 式, (4.6) 式のように場合分けして求める. その後, t_l に対して与えるトランジションの数は, 各トランジション成分 $t_{l,m}$ ($m = 1, \dots, |E_l|$) に与えたトランジション数 $S_{11} S_{12} S_{13} S_{14} S_{15}$ の組合せの数となるので, 各 $t_{l,m}$ に与えたトランジションの数の総積となる. よって, P_{N^2} から方法 1 で P_N へ変換する際に与えるトランジシヨ

ンの数は (4.4) 式の値となる．ここで，(4.5)，(4.6) 式の中の $|N(t_{l,m})|$ はトランジション成分 $t_{l,m}$ を発火できるマーキングの数を表している．

$$\sum_{l=1}^L \prod_{m=1}^{|E_l|} Z \quad (4.4)$$

($IN(t_{l,m}) \geq OUT(t_{l,m})$ である $t_{l,m}$ の時)

$$Z = \frac{S_{max} P_{IN(t_{l,m})}}{Q^{(t_{l,m})} \prod_{q=1}^{IN(t_{l,m}[q])} (IN(t_{l,m}[q]))!} \times |N(t_{l,m})| \quad (4.5)$$

($IN(t_{l,m}) < OUT(t_{l,m})$ である $t_{l,m}$ の時)

$$Z = \frac{S_{max} P_{IN(t_{l,m})}}{\prod_{q=1}^{IN(t_{l,m}[q])} (IN(t_{l,m}[q]))!} \times (S_{max} - IN(t_{l,m})) C_{(OUT(t_{l,m}) - IN(t_{l,m}))} \times |N(t_{l,m})| \quad (4.6)$$

PN のアーク

トランジション t_l のトランジション成分 m をマーキング $S_a^{(h)}$ が発火できるとき， $S_a^{(h)}$ が m を発火するときのために展開されたすべての t_l のトランジションに対して， $S_a^{(h)}$ のマーキングに対応する各プレース及び， m を発火できる環境ネットのプレースに対応する S_a のプレースからアークを結ぶ．

4.3.1 変換の例

方法 1 による PN への変換法を用いて，有界で有限ソートと判定されている 4.1.2 で挙げた PN^2 を PN に変換すると，図 4.9 のように構成することができる．

図 4.7 の被覆木により $S_{max} = 5$ であることが求められているので，AGV のエージェントネットを S_1 とおくと， $S_{11}, S_{12}, S_{13}, S_{14}, S_{15}$ のエージェントネットを用意しておく．なお図 4.9 では， S_{11} と S_{12} のエージェントネットだけを表記している． $S_{11} \sim S_{15}$ はすべて同じエージェントネットなので， S_{11} のエージェントネットだけについて説明する．

- PN のプレース

S_1 の各プレース $P_1, P_2, P_{token}, P_{su}$ に入るトークンの上界の数は，

$$B(P_{11}) = 1 \quad B(P_{12}) = 2 \quad B(P_{1token}) = 1 \quad B(P_{1su}) = 1$$

- PN のアーキ

被覆木によりトランジション成分を発火できる時の環境ネットのプレース及びマーキングは求められている。例えば、 t_1 の $x : to_B$ を発火できる S_1 は (1010) のマーキングでプレース A に存在するときであることが図 4.5 の被覆木により分かる。よって、マーキング (1010) に対応する S_1 の各プレース及び存在場所がプレース A に対応する S_1 のプレースから、 x を発火できるマーキングが (1010) であるときのために展開されたすべての t_1 のトランジションに対してアーキを結ぶ。

- PN の初期マーキング

PN^2 の初期マーキングとして、 S_1 (AGV) が (1010) というマーキングでプレース A に 1 つ存在しているので、 $S_{11} \sim S_{15}$ の中から 1 つ、番号が最も小さい S_{11} を選び、その S_{11} に対して、(1010) のマーキングに対応するようにトークンを与える。よって、変換した PN の $P_{111(1)}$, $P_{112(0)}$, $P_{11token(1)}$, $P_{11su(0)}$ のそれぞれのプレースにトークンを与え、 S_{11} はプレース A に存在しているので P_{11A} にもトークンを与える。 $S_{12} \sim S_{15}$ については環境ネット上に存在していないという意味で、 $P_{12not} \sim P_{15not}$ にトークンを与える。また PN^2 では P_{copy} がプレース $copy$ に 2 つ存在しているので、 P_{copy} にトークンを 2 つ与える。

4.3.2 方法 1 で PN に変換できる PN^2 のクラス

有界で有限ソートと判定される PN^2 のクラスについては、上で述べたような方法で PN へ変換できる。非有界な PN^2 のクラスは S_{max} が無限になるので、 PN に変換することができない。また、無限ソートの PN^2 のクラスについてもエージェントネットのプレースに入るトークンの数が無限となり、プレースが無限に増えてしまうので変換することができない。

方法 1 で変換できる無限ソートの PN^2 の条件

ただし、次のような 2 つの条件を満たす無限ソートの PN^2 であれば PN へ変換できる。

- すべてのトランジション成分への入力が高々 1 つしかない
- エージェントの複製を表す $copy$ のようなトランジション成分をもたない

PN に変換できる理由としては、エージェントネットの各プレースに入るトークンの数ごとにプレースを与える必要がないからである。方法 1 でエージェントネットの各プレースに入るトークンの数ごとにプレースを与えてきたのには以下の理由があるからである。

- PN^2 でのエージェントネットのコピーとは、コピー元のエージェントネットと同じマーキングをもつエージェントネットを生成することであるので、コピー元のエージェントネットの各プレースに入っているトークンの数と等しくなるようなエージェントネットの生成を PN で表現する必要がある。

- また図 4.8 のような複数の入力をもつトランジション成分については，それらの入力のエージェントネットは全て同じマーキングでないと発火できないので，複数のエージェントネットの各プレースに入るトークンの数がすべて等しければ，それらのエージェントネットがトランジションを発火できるということを PN で表現する必要がある．

以上のことから，このようなトランジション成分をもたない PN^2 であれば無限ソートであっても方法 1 で PN に変換できる．

PN に変換できる無限ソートの PN^2 の例

図 4.10 のような上で述べたトランジション成分を持たない環境ネットと，その環境ネットの下で動く図 4.11 のような非有界なエージェントネット S_1 (AGV) で構成される PN^2 は図 4.12 のように PN に変換できる．

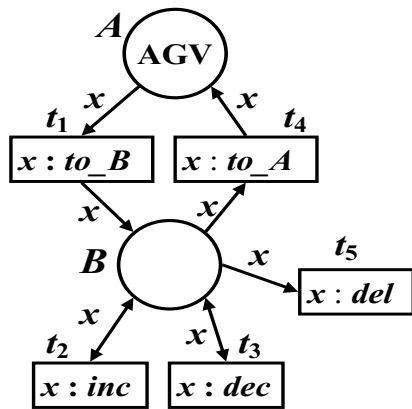


図 4.10: 環境ネット

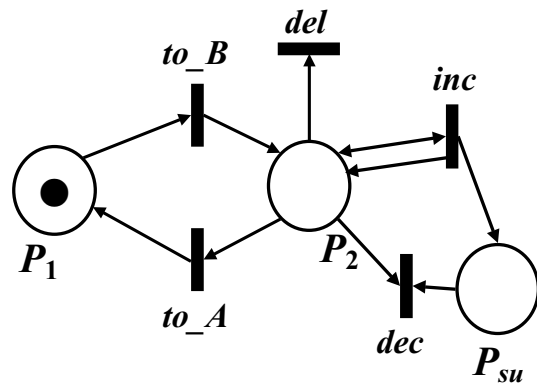


図 4.11: 図 4.10 の S_1 (AGV) のエージェントネット

方法 1 では，エージェントネットのプレースに入るトークンの数ごとにプレースを用意していたが，このような PN^2 の場合は，図 4.12 のように S_1 のプレースの集合を与えるだけで非有界である S_1 のマーキングも表現できる． S_{11} の存在場所を示すための環境ネットのプレースの集合とプレース P_{11not} は方法 1 と同様に与える．図 4.12 のように S_1 のプレースに入るトークンの数ごとにプレースを与えなくてよいので，非有界なエージェントネットで構成される無限ソートの PN^2 でも PN へ変換できる．

PN による非有界なエージェントネットのコピーの表現法

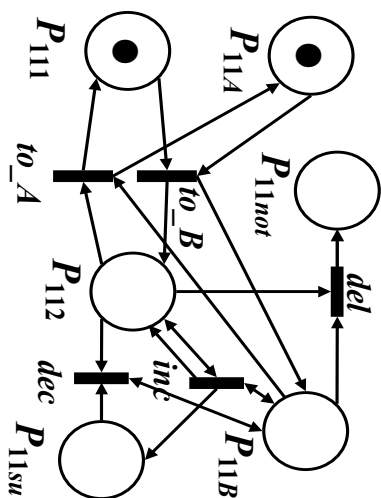


図 4.12: 図 4.10 と図 4.11 からなる PN^2 からの PN への変換

上で述べた方法のように各エージェントネットごとにはプレースの集合を与え，非有界なエージェントネットのマーキングのコピーを PN で近似的に表現するものとして， PN^2 の 1 つのコピーを表すトランジションに対して， PN では複数のトランジションとプレースによって表現される一連のコピーの動作を対応させる．

図 4.13 のように， S_{11} のマーキングを S_{12} にコピーするために破線で示したトランジションとプレースを用いる．図 4.13 のプレース P_{stop} とは， PN ではコピーの動作を複数のトランジションとプレースによって表現しているため，コピーを実行している間は，他のすべてのトランジションは発火できないようにするために与えているプレースである． P_{stop} にトークンが入っているときは，コピーが実行中ではない状態で， P_{stop} にトークンが入っていないときはコピーの実行中で，他のトランジションは発火できない．図 4.13 ではトランジション $copy$ の発火によってコピーの動作が始まり， t_{66} の発火によってコピーの動作が終了する．

コピーの動作について述べると， $copy$ を発火させた後， S_{11} のプレース P_{111} には 1 個のトークンが入っているため，破線のトランジション t_{61} を最大 1 回発火できる． t_{61} の発火回数分，トークンが P_{61} に入り， t_{62} では最大 P_{61} に入っているトークンの数の分発火でき，その発火回数分のトークンが S_{12} のプレース P_{121} に入る． S_{11} のプレース P_{112} についても同様にして， S_{12} の P_{121} のなかにトークンを入れる．

このようなコピーの表現法では，

$$\begin{aligned} \text{プレース } P_{121} \text{ には最大 } & 1(P_{111} \text{ のトークン数) まで} \\ \text{プレース } P_{122} \text{ には最大 } & 2(P_{112} \text{ のトークン数) まで} \end{aligned}$$

トークンを入れることができる．実際に， PN^2 ではコピーの発火により，プレース P_{121} に 1 個，プレース P_{122} には 2 個のトークンが入る．このことから，この PN のコピーの表現法では， PN^2 のコピーの発火により得られる各プレースに入るトークンの数以下

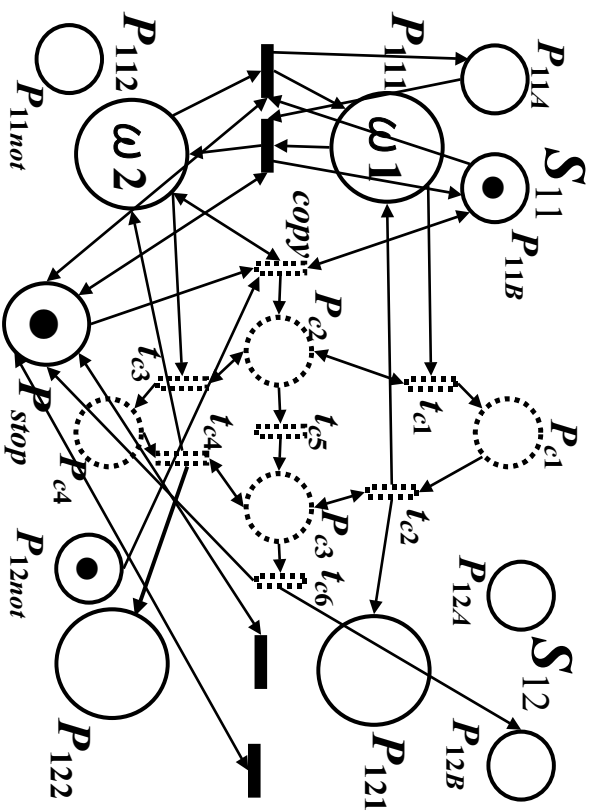


図 4.13: PN による非有界のエージェントネットワークのコピーの表現法

のトークンが各グループに入ることを表している．今後， PN のコピーの動作を *copy* の発火とみなして述べていく．

この時， PN^2 と変換した PN の発火系列だけに注目すると，以上で述べたように PN の各グループに入るトークンの数は PN^2 以下であるので， PN で起きるすべての発火系列は PN^2 にも存在し，また PN の *copy* の発火後の各グループに入るトークンの数がすべて最大するとき，図 4.13 では *copy* の発火後， P_{121} に 1 個， P_{122} には 2 個のトークンが入るとき，実際の PN^2 のコピーの発火を実現することもできる．

以上のことから，この方法での PN^2 の動作を保存する PN の変換とは，

$L(PN^2, M_0)$: PN^2 の初期トークン M_0 から始まる発火系列の集合

$L(PN, m_0)$: PN^2 の M_0 に対応する PN のトークンの集合 $\alpha(M_0)$ 中の任意の要素のトークン m_0 から始まる発火系列の集合

とすると，

$$L(PN, m_0) = L(PN^2, M_0) \quad (4.7)$$

の式が成り立つような変換である．

しかしこの PN の構成法では，次のような制約を考える必要がある．

1. *copy* のトランジション，図 4.13 でいう *copy* のトランジションは 1 回しか発火させてはいけない．なぜならば，1 度 *copy* を発火した後， P_{c1} や P_{c4} にはトークンが残って

しまう場合があり，再び S_{11} から S_{12} に *copy* の発火が起こったとき， S_{12} の各プレートに入るトークンの数が， S_{11} の各プレートに入るトークンの数を超過してしまう場合が起きる．この時， PN^2 では起こりえない発火系列が，変換した PN では存在してしまうことになるので，(4.7) 式が成り立たなくなる．

2. エージェントネット S_{1a} の *del*(エージェントネットの消滅を表すトランジション) の発火をこの PN で表現しようとするとき， S_{1a} の各プレートに入っているすべてのトークンの消去を表現することはできない．

つまり， S_{1a} が *del* を発火した後， S_{1a} の各プレートにはトークンが残っている場合がある．*del* を発火した後の S_{1a} に対して， S_{1a} と同種類の他のエージェントネット S_{1b} が *copy* を発火させたときも同様に， S_{1a} の各プレートに入るトークンの数が S_{1b} よりも多くなる場合が起きるので，(4.7) 式が成り立たなくなる．

この1と2の制約から，この方法で PN に変換できる PN^2 のクラスは，延べコピー回数が有限の PN^2 の場合である．

また，この方法でもトランジション成分の入力が高々1つしかない PN^2 でないと PN に変換できない．なぜならば，この方法でも無限ソートでコピーなしのときの PN への変換法と同様に，各エージェントネットにはエージェントネットのプレースの集合だけでマーキングを表現しているからである．複数のエージェントネットの各プレートに入っているトークンの数がそれぞれ等しいときに発火できるという表現をこの PN では表現できない．

4.4 方法2

環境ネット上の各エージェントネット $S_a (a = 1, \dots, n)$ のとりうる各マーキング $S_a^e (e=1, \dots, |M(S_a)|)$ に対して，それぞれのマーキングが環境ネットのどのプレートに存在しているかを表現するために，エージェントネットのマーキングと環境ネットの存在場所とを組み合わせる．

この PN の構成法では， PN のトークンはエージェントネットのマーキングとそのマーキングが環境ネットのどのプレートに存在しているかという存在場所の2つの情報をもっている．よって，ペトリネットのマーキングと PN^2 のマーキングとの対応は1対1である．

PN^2 でのトランジション t の発火を表現するために， PN では t のトランジション束縛ごとに1つのトランジションを生成していき，それらの集合 $\beta(t)$ を与える．この時，

$f(m_0) : PN$ のマーキング m_0 に対応する PN^2 のマーキング， f は全単射

$g(t) : \beta(t)$ の各トランジション t に対応する PN^2 のトランジション

とすると，方法2で PN^2 の動作を保存する PN の変換とは，

$$PN \text{ で } m_0 \xrightarrow{t} m_1 \text{ ならば } PN^2 \text{ で } f(m_0) \xrightarrow{g(t)} f(m_1) \quad \text{かつ}$$

$$PN^2 \text{ で } M_0 \xrightarrow{T} M_1 \text{ ならば} \\ PN \text{ で } (\exists t \in g^{-1}(T)) \left((f^{(-1)}(M_0) \xrightarrow{t} f^{(-1)}(M_1)) \right)$$

が成り立つような変換である．

PN のプレース

- 各 $S_a (a = 1, \dots, n)$ のとりうるマーキングの有限集合 $M(S_a)$ の要素である各マーキング $S_a^e (e = 1, \dots, |M(S_a)|)$ に対して，環境ネットのプレースの数を示す K 個のプレース $P_1 S_a^e, P_2 S_a^e, \dots, P_K S_a^e$ を与える．これにより， S_a のとりうる各マーキングが環境ネットのどのプレースに存在しているかを表現できる．例えば，プレース $P_1 S_a^1$ にトークンが1つ入っていることは， PN^2 では S_a^1 というマーキングをもつエージェントネットが環境ネットのプレース1に1つ存在していることを表している．このような事から，変換した PN のトークンは， PN^2 でのあるマーキングをもつエージェントネットに対応している．
- また，エージェントネットが のときに対しても， の存在場所を表現するために，環境ネットのプレースの数を示す K 個のプレース P_1, P_2, \dots, P_K を与える．

したがって， PN^2 を方法2で PN に変換する際に必要なプレースの数は以下になる．

$$K \times \sum_{a=1}^n |M(S_a)| \quad (4.8)$$

なお，エージェントネットが の時はマーキングが1つしかないので， S_a が の時であっても (4.8) 式となる．

PN のトランジション

PN^2 の各トランジション $t_l (l = 1, \dots, L)$ に対して必要なトランジションについて考えると PN では，各 t_l に対して， t_l のトランジション束縛の集合の要素数のトランジションを与える．この t_l のトランジション束縛の集合の要素数は， t_l の各トランジション成分 $t_{l,m}$ を発火できるマーキングの数の総積となる．以上のことから， PN^2 から方法2で PN に変換したときのトランジションの数は (4.9) 式になる．

$$\sum_{l=1}^L \prod_{m=1}^{|E_l|} |N(t_{l,m})| \quad (4.9)$$

PN のアークの生成

各 S_a の被覆木を生成したときに、環境ネットの各トランジション t_l のトランジション成分 m を発火できるエージェントネットのマーキングとそのときのエージェントネットの存在場所は求められている。

よって、もし環境ネットのプレース P_x に存在する S_a^h というマーキングが t_l のトランジション成分 m を発火可能であるならば、 $t_{l,m}$ のトランジション成分を発火できるエージェントネットのマーキングが S_a^h であるときに展開されているすべてのトランジション t_l に対して、そのトランジションの入力プレースとしてプレース $P_x S_a^h$ からアークを結ぶ。

また、その時のトランジション t_l の出力プレースとして、プレース P_x に存在している S_a^h が t_l のトランジション m の発火により $S_a^{h'}$ にマーキングが変化し、 m の出力プレースが P_y であるならば、そのトランジション t_l の出力プレースとして、プレース $P_y S_a^{h'}$ へアークを結ぶ。

4.4.1 変換の例

方法 2 による PN の変換法を用いて、4.1.2 で挙げた PN^2 を PN に変換すると図 4.14 のように構成することができる。

- PN のプレース

AGV のとりうるマーキングは図 4.5 の被覆木により求められており、図 4.14 では AGV のエージェントネットを S_1 とおいて、 S_1 のとりうる各マーキングを以下のように置く。

$$(1010) \quad S_1^{(1)} \quad (0110) \quad S_1^{(2)} \quad (0201) \quad S_1^{(3)}, (1101) \quad S_1^{(4)}$$

環境ネットのプレースは図 4.3 より $A, B, copy, kazu$ であるので、 S_1 のとりうる各マーキング $S_1^{(1)}, S_1^{(2)}, S_1^{(3)}, S_1^{(4)}$ とのエージェントネットに対して、環境ネットの各プレース $A, B, copy, kazu$ を組み合わせて図 4.14 のようにプレースを生成する。

- PN のトランジション

図 4.5 の被覆木により、環境ネットのトランジション成分を発火できるマーキングを求められる。例えば、図 4.5 により環境ネットの t_1 のトランジション成分 $x : to_B$ を発火できるマーキングは $S_1^{(1)}$ と $S_1^{(4)}$ の 2 つであることが分かる。よって、 t_1 のト

$P_A S_1^{(2)}$ $P_B S_1^{(1)}$ $P_B S_1^{(4)}$ P_A ● P_B ●

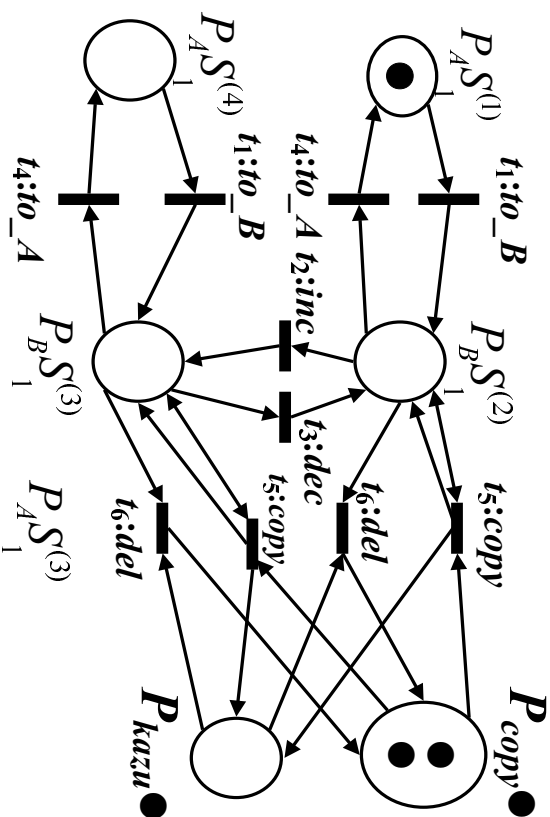


図 4.1.4: 方法 2 による PN への変換

ランジションは, x を発火できるヌーキングが $S_1^{(1)}$ のときのトランジションと $S_1^{(4)}$ のときのトランジションの 2 つに展開される .

- PN のアーク

例えば t_1 のトランジションは $S_1^{(1)}$ がプレイヤー A に存在するときに発火でき, また $S_1^{(4)}$ がプレイヤー A に存在するときに発火できるということが, 図 4.5 によって求められる . このように, トランジション成分 m を発火できるヌーキングが環境ネットワークのどのプレイヤーに存在するとき m を発火できるかも被覆木によって求められる . この例では, $S_1^{(1)}$ がプレイヤー A に存在するとき, $x : to_B$ が発火できることを図 4.5 から求められるので, t_1 の $x : to_B$ を発火できるヌーキングが $S_1^{(1)}$ のときに展開された t_1 のすべてのトランジションに対してプレイヤー $P_A S_1^{(1)}$ からアークを結ぶ .

- PN の初期ヌーキング

PN^2 の初期ヌーキングにおいて, $S_1(AGV)$ のエージェントネットワークが $S_1^{(1)}$ というヌーキングでプレイヤー A に 1 つ, また がプレイヤー $copy$ に 2 つ与えられているので, PN では $P_A S_1^{(1)}$ にトークンを 1 つ, P_{copy} にトークンを 2 つ与える .

4.4.2 方法2で PN に変換できる PN^2 のクラス

方法2で構成される PN のトークンは、あるマーキングを持つエージェントネットに対応している。よって、環境ネットのプレースの中にエージェントネットの数が無限に増えていくような非有界と判定される PN^2 のクラスでも PN に変換することができる。ただし、エージェントネットのプレースにトークンが無限に入るような無限ソートの PN^2 においては、とりうるマーキングが無限になってしまい、 PN に変換したときのプレースの数が無限になってしまうので表現できない。以上により、方法2の変換法では、無限ソートと判定されない PN^2 のクラスであれば、有界、非有界のどちらであっても PN に変換することができる。

4.5 方法1と方法2の比較

有界で有限ソートと判定される PN^2 は方法1でも方法2でも PN に変換できるので、どちらの方法で構成される PN のほうが PN^2 をより小さいサイズで表現できるかについて述べる。

- プレースの数の比較

方法1で PN に変換したときのプレースの数=(4.1)式で、方法2で PN に変換したときのプレースの数=(4.8)式で求められる。環境ネット上のエージェントネットの数について考えてみると、方法1では環境ネット上のすべてのエージェントネットをそれぞれ PN で表現しているので、エージェントネットの数、つまり S_{max} が多くなるほど、方法1で変換した時の PN のプレースの数は大きくなる。これに対して、方法2では(4.8)式より S_{max} が増えてもプレースの数は増えない。よって、環境ネット上のエージェントネット数が増えるような PN^2 の場合は、方法2のほうが少ないプレースの数で PN^2 を PN に変換できると考えられる。

- トランジションの数の比較

方法1で PN に変換したときのトランジション数は=(4.4),(4.5),(4.6)式で求められ、方法2で PN に変換したときのトランジション数は=(4.9)式で求められる。あるトランジション成分 $t_{l,m}$ に必要なトランジションの数は、方法1では(4.5)式、もしくは(4.6)式によって求まるのに対して、方法2ではトランジション成分 $t_{l,m}$ を発火できるマーキングの数 $|N(t_{l,m})|$ だけで求まる。よって、トランジションの数は方法2のほうが方法1よりも少ない数で PN^2 を表現できる。

第5章 おわりに

本研究では、 PN^2 の効率的な解析手法として、エージェントネットの縮約構成法と、ペトリネットの既存の解析手法を PN^2 にも適用できるような PN^2 から 1 階層のペトリネットへの変換手法について述べた。

上記の手法において環境ネット上の各エージェントネット $S_a (a = 1, \dots, n)$ の動作可能性を調べるときに、他のエージェントとの協調動作については考えずに、状態遷移図および被覆木を作成する。この各 S_a の動作の求め方は、 S_a の実際に起こる動作の上界を用いるため、実際には S_a が他のエージェントネットの動作によって起こり得ない動作も許してしまう場合があるが、 S_a で実際に起きるすべての動作は含んでいる。したがって、次のことが言える。

- 縮約したエージェントネットにおいて、エージェントネットの最小化は保証できないが、エージェントネットに与えられているすべての動作は縮約後のエージェントネットで行うことができるのは保証できる。
- また、変換した PN の中には、実際には発火することのない無駄なトランジションやトークンが入ることのない無駄なプレースが含まれている場合があるが、実際の PN^2 で起こり得るすべての動作を実現するためのトランジションやプレースは含まれている。

他のエージェントネットの動作も考えた実際の環境下で、 S_a の状態遷移図および被覆木を作ろうとすると、環境ネット上のすべてのエージェントネットのマーキングも同時に考える必要があるので、状態遷移図の状態数及び被覆木のノードの数が、環境ネット上に存在するエージェントネットの数の指数関数として増加してしまう。よって、最小化まではできる保証がないが、本研究での各 S_a の起こり得る動作を調べる方法のほうが、厳密に各 S_a の起こり得る動作を調べる方法よりも効率的である。このような動作の上界を見積もる手法は、モデルの階層性を有効に利用した 1 例である。

最後に、 PN^2 の解析についての今後の課題として、以下のことが挙げられる。

- PN への変換について、表 4.1 のように、無限ソートで非有界の PN^2 のクラスに対しては、方法 1 でも方法 2 でもペトリネットに変換することはできない。よって、この PN^2 のクラスの動作をシュミレートできるような PN への変換法を検討する。

- 既存の PN^2 の接続行列の表現法ではエージェントネットのとりうるマーキングの数が増えるごとに行列サイズも大きくなるという問題がある．よって，このような問題を解決し，よりコンパクトに表現できるような PN^2 の接続行列の構成法を検討する．

謝辞

最後に，本研究を進めるにあたり，指導教官であり，北陸先端科学技術大学院大学情報科学研究科の平石 邦彦助教授には，終始様々な助言，ご指導を頂きました．また，同研究室の宋 少秋助手，高島 康裕助手にも終始様々な助言，ご指導を頂きました．ここに深く感謝の意を表します．

発表論文

岡橋, 平石, " エージェント指向ペトリネット PN^2 の効率的解析について", 信学技報, CAS2002-101, No.427, pp.23-28, 2002-11.

参考文献

- [1] 木下哲男, "エージェントシステムの作り方", (社) 電子情報通信学会, (2001)
- [2] 村田忠夫, "ペトリネットの解析と応用", 近代科学社, (1992)
- [3] S.Philippi, "System Modeling Using Object-Oriented Pr/T-Nets", Research Report No.25/97, Institute for Computer Science, University Koblenz - Landau, (1997)
- [4] E.Battiston, F.De Cindio, G.Mauri, "OBJSA Nets : A Class of High-Level Nets Having Objects as Domains", Lecture Notes in Computer Science, Vol.340, (1988)
- [5] R.Valk, "Petri nets as token objects - an introduction to elementary object nets", Lecture Notes in Computer Science, Vol.1420, (1998)
- [6] M.Baldassari, "An Environment for Object-Oriented Conceptual Programming Based on PROT Nets", Lecture Notes in Computer Science, Vol.340(1988)
- [7] J.Engelfriet, G.Leih, G.Rozenberg, "Net-based Description of Parallel Object-based Systems", Lecture Notes in Computer Science, Vol.489(1990)
- [8] M.Ceska, V.Janousek, and T.Vojnar, "PNTalk-A Computerized Tool for Object Oriented Petri Nets Modelling", Lecture Notes in Computer Science, Vol.1333(1994)
- [9] K.Hiraishi, " PN^2 : An Elementary Model for Design and Analysis of Multi-Agent System", (2002)

- [10] 平石邦彦, "ペトリネットによるマルチエージェントシステムのモデル化", システム/制御/情報, Vol.45, No.8, (2001)

- [11] 青山, 内平, 平石, "ペトリネットの理論と実践", システム制御情報ライブラリー 13, 朝倉書店, (1995)

- [12] A.F.VAZ and W.M.WONHAM, "On supervisor reduction in discrete-event systems", INT.J.CONTROL, Vol.44, No.2, (1986)